## High-order MSSA для выделения сигнала

Хромов Никита Андреевич, Голяндина Нина Эдуардовна

Санкт-Петербургский государственный университет Кафедра статистического моделирования

Процессы управления и устойчивость 2 апреля 2024, Санкт-Петербург

## Постановка задачи

 $X=(x_1,x_2,\ldots,x_N)$ ,  $x_i\in\mathbb{R}$  — вещественный временной ряд. X=T+P+R. T — тренд, P — регулярные колебания, R — шум.

#### Возможные задачи:

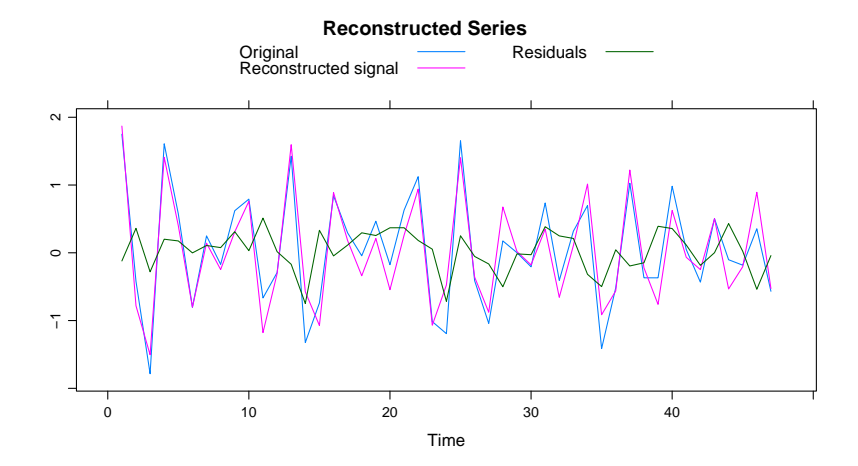
- **1** Выделение сигнала из ряда: нахождение S = T + P,
- Отделение компонент сигнала: нахождение Т и Р,
- Нахождение параметров сигнала в параметрической модели.

### Методы, основанные на подпространстве сигнала:

- SSA (задачи 1 и 2)
   (Golyandina et al. (2001), Analysis of time series structure:
   SSA and related techiques)
- ESPRIT (задача 3)
   (Roy, Kailath (1989), ESPRIT-estimation of signal parameters
   via rotational invariance techniques)

# Пример применения SSA и ESPRIT

$$s_n = e^{-0.01n}\cos(2\pi n/3) + e^{-0.02n}\cos(2\pi n/4), \quad n = 0, 1, \dots, 46$$



# Пример применения SSA и ESPRIT

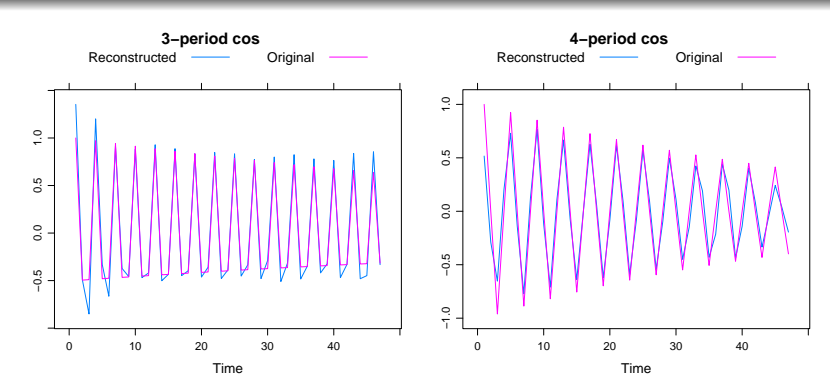


Таблица: Восстановленные ESPRIT параметры

Номер слагаемого	1	2
Период	3	4.06
Степень затухания	-0.008	-0.027

### Постановка задачи

В работе Papy et al. (2005) была предложена тензорная модификация метода ESPRIT и экспериментально показано её преимущество для конкретной модели.

Цель: расширение предложенного Рару алгоритма для решения задачи выделения сигнала, исследование свойств тензорных модификаций методов семейства SSA с точки зрения точности выделения сигнала.

В докладе рассмотрена тензорная модификация для выделения сигнала из многомерных временных рядов.

# Модель одномерного сигнала

$$X = (x_0, x_1, \dots, x_{N-1}) = S + R,$$
  
S — сигнал, R — шум.

$$s_n = \sum_{j=1}^{R} a_j e^{-\alpha_j n} \cos(2\pi\omega_j n + \varphi_j)$$

#### Параметры:

$$a_j\in\mathbb{R}\setminus\{0\}$$
 — амплитуды,  $lpha_j\in\mathbb{R}$  — степени затухания,  $\omega_j\in[0,1/2]$  — частоты,  $arphi_j\in[0,2\pi)$  — фазы.

# Модель многомерного сигнала

$$\mathsf{X} = egin{pmatrix} \mathsf{X}_1 \\ \mathsf{X}_2 \\ \vdots \\ \mathsf{X}_P \end{pmatrix}$$
,  $\mathsf{X}_p = \mathsf{S}_p + \mathsf{R}_p$  — одномерные ряды.

Общий случай:

$$s_n^{(p)} = \sum_{j=1}^{R(p)} a_j^{(p)} e^{-\alpha_j^{(p)} n} \cos\left(2\pi\omega_j^{(p)} n + \varphi_j^{(p)}\right)$$

Рассматриваемый случай:

$$s_n^{(p)} = \sum_{j=1}^R a_j^{(p)} e^{-\alpha_j n} \cos\left(2\pi\omega_j n + \varphi_j^{(p)}\right)$$

## Описание алгоритма MSSA

 ${\sf X}-P$ -мерный временной ряд длины N с сигналом  ${\sf S},$  L-длина окна, K=N-L+1.

Оператор вложения одномерного ряда:

$$\mathbb{H}_{L}\left(\mathsf{X}_{p}\right) = \begin{pmatrix} x_{0}^{(p)} & x_{1}^{(p)} & x_{2}^{(p)} & \dots & x_{K-1}^{(p)} \\ x_{1}^{(p)} & x_{2}^{(p)} & \ddots & \dots & \vdots \\ x_{2}^{(p)} & \ddots & \ddots & \dots & \vdots \\ \vdots & \vdots & \vdots & \vdots & x_{N-2}^{(p)} \\ x_{L-1}^{(p)} & \dots & \dots & x_{N-2}^{(p)} & x_{N-1}^{(p)} \end{pmatrix}$$

# Описание алгоритма MSSA

Параметры алгоритма:  $L, R: R \leq L < N, K \geqslant L.$  R — число компонент, отнесённых к сигналу.

### Схема алгоритма MSSA для выделения сигнала

- $f \Delta$  Вложение  $f X \overset{L}{\mapsto} f H = [\mathbb{H}_L(f X_1):\mathbb{H}_L(f X_2):\cdots:\mathbb{H}_L(f X_P)] \in \mathbb{R}^{L imes KP},$
- f Pазложение  $f H = \sum_{i=1}^d \sqrt{\lambda_i} U_i V_i^{
  m T}, \ d \leqslant L$
- $\mathbf{\tilde{S}} = \sum_{i=1}^{R} \sqrt{\lambda_i} U_i V_i^{\mathrm{T}}, \ R \leqslant d$   $\tilde{\mathbf{S}} = \left[ \tilde{\mathbf{S}}_1 : \tilde{\mathbf{S}}_2 : \cdots : \tilde{\mathbf{S}}_P \right], \quad \tilde{\mathbf{S}}_p \in \mathbb{R}^{L \times K}$
- $oldsymbol{\mathfrak{S}}_p$  усредняются вдоль побочных диагоналей:  $ilde{s}_n^{(p)} = \max\left\{\left( ilde{\mathbf{S}}_p\right)_{i,j} \ \middle| \ i+j-2=n\right\}.$

#### Ранг сигнала

S имеет ранг r, если  $\forall L: \ r\leqslant \min(L,K) \ \mathrm{rank}\, \mathbb{H}_L(\mathsf{S})=r.$  Рекомендуемый выбор параметра R в алгоритме: R=r.

### Примеры

•  $s_n = Ae^{\alpha n}\cos(2\pi\omega n + \varphi),$  $A \neq 0, \ \alpha \in \mathbb{R}, \ \omega \in [0, 1/2], \ \varphi \in [0, 2\pi)$ 

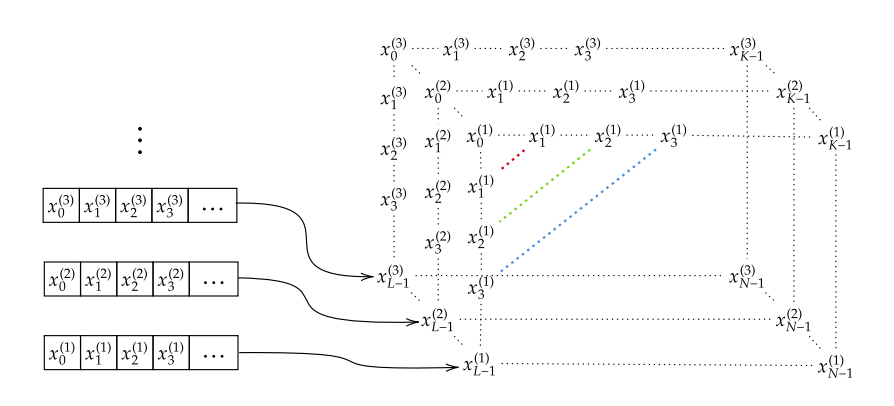
$$r(\omega) = \begin{cases} 1, & \omega \in \{0, 1/2\}, \\ 2, & \omega \in (0, 1/2). \end{cases}$$

•

$$s_n^{(p)} = \sum_{j=1}^R a_j^{(p)} e^{-\alpha_j n} \cos\left(2\pi\omega_j n + \varphi_j^{(p)}\right)$$

 $r = \sum_{(\omega,\alpha) \in \Omega} r(\omega)$ ,  $\Omega$  — все уникальные пары  $(\omega_j,\alpha_j)$ .

# Построение траекторного тензора



$$L < N$$
,  $K = N - L + 1 \geqslant L$ 

# Разложение и группировка

ullet High-Order SVD траекторного тензора  ${\cal H}$  имеет вид

$$\mathcal{H} = \sum_{l=1}^{L} \sum_{k=1}^{K} \sum_{p=1}^{P} c_{lkp} \mathbf{U}_{l}^{(1)} \circ \mathbf{U}_{k}^{(2)} \circ \mathbf{U}_{p}^{(3)}.$$

• Этап группировки в алгоритме HO-MSSA имеет вид

$$\widetilde{\mathcal{H}} = \sum_{l=1}^{R_1} \sum_{k=1}^{R_2} \sum_{p=1}^{R_3} c_{lkp} \mathbf{U}_l^{(1)} \circ \mathbf{U}_k^{(2)} \circ \mathbf{U}_p^{(3)},$$

 $R_i \leqslant \min(L, K, P)$  — параметры алгоритма.

## Ранги тензора

n-Ранг тензора: размерность пространства, порождённого векторами вдоль n-го измерения  $(\operatorname{rank}_n(\mathcal{A}))$ .

### Теорема

Пусть многомерный временной ряд

$$(x_0^{(p)}, x_1^{(p)}, \dots, x_{N-1}^{(p)}), \quad p = 1, 2, \dots, P$$

имеет ранг d в терминах MSSA, тогда для траекторного тензора  $\mathcal{H}$ , построенного по любой длине окна L < N такой, что  $\min(L,K) \geqslant d$ , выполняется  $\mathrm{rank}_1(\mathcal{H}) = \mathrm{rank}_2(\mathcal{H}) = d$ , а 3-ранг этого тензора равен рангу матрицы, в строках которой записаны заданные одномерные ряды.

### Ранги сигнала в HO-MSSA

- 1- и 2-ранги траекторного тензора  ${\cal H}$  сигнала S совпадают с рангом этого сигнала в терминах MSSA.
- Однако ранг третьего измерения имеет иной смысл.

На этапе группировки рекомендуется брать  $R_1=R_2=r$  и  $R_3=r_3$ , где r — MSSA-ранг сигнала,  $r_3$  — ранг матрицы, составленной из  ${\sf S}_p$ .

#### Примеры

$$s_n^{(p)} = \sum_{j=1}^R a_j^{(p)} e^{-\alpha_j n} \cos\left(2\pi\omega_j n + \varphi_j^{(p)}\right), \quad n \in \overline{0:N-1},$$

$$p \in \overline{1:P}, a_j^{(p)} \neq 0, \alpha_j \in \mathbb{R}, \omega_j \in (0, 1/2), \varphi_j^{(p)} \in [0, 2\pi)$$

$$\bullet \omega_i \neq \omega_j, \ \varphi_j^{(p)} = \varphi_j^{(m)} \Longrightarrow r = 2R, \ r_3 = R,$$

### Численные сравнения

• Одинаковые фазы

$$x_n^{(p)} = c_1^{(p)} e^{-0.01n} \cos(2\pi 0.2n) + c_2^{(p)} e^{-0.02n} \cos(2\pi 0.22n) + \varepsilon_n^{(p)},$$

2 Линейно меняющиеся фазы

$$x_n^{(p)} = c_1^{(p)} e^{-0.01n} \cos(2\pi 0.2n + p\pi/6) + c_2^{(p)} e^{-0.02n} \cos(2\pi 0.22n + p\pi/9) + \varepsilon_n^{(p)},$$

В обоих случаях  $n=0,1,\dots,24$ ,  $p=1,2,\dots,12$ ,  $c_k^{(p)}\sim {\rm N}(0,1)$ ,  $\varepsilon_n^{(p)}\sim {\rm N}(0,0.02)$  и независимы.

Точность сравнивалась по RMSE по 1000 реализациям шума  $\varepsilon_n^{(p)}$  при фиксированных  $c_k^{(p)}$ , сравнение проводилось на одних и тех же реализациях шума при выборе оптимальных для каждого метода параметров  $L,\,R$  и  $R_3$ .

# Численные сравнения

Равные фазы

MSSA: 
$$L = 22$$
,  $R = 4$ 

HO-MSSA: 
$$L = 20$$
,  $R = 4$ ,  $R_3 = 2$ 

Линейно меняющиеся фазы

MSSA: 
$$L = 21$$
,  $R = 4$ 

HO-MSSA: 
$$L = 21$$
,  $R = 4$ ,  $R_3 = 4$ 

Таблица: RMSE оценки многомерного сигнала

	MSSA	HO-MSSA
равные фазы	0.0107	0.0079
линейные фазы	0.00924	0.00918

Вывод: HO-MSSA выделяет многомерный сигнал с одной частотой точнее, чем MSSA.